

شناسائی آلل های خود ناسازگاری در زردآلو (*Prunus armeniaca* L.) با تلفیق روش های مطالعه این صفت

Identification of Self-Incompatibility Allels in Apricot (*Prunus armeniaca* L.)  
Using Multi-Level Approaches

رحیم قره شیخ بیات<sup>۱</sup>، لوکا دندینی<sup>۲</sup> و سیلویر و سانساوینی<sup>۳</sup>

۱- دانشجوی سابق دکتری باطنی، دانشکده کشاورزی دانشگاه بولونیا، ایتالیا

۲ و ۳- به ترتیب استادیار و استاد، دانشکده کشاورزی دانشگاه بولونیا، ایتالیا

تاریخ دریافت: ۱۳۹۰/۴/۲ تاریخ پذیرش: ۱۳۸۹/۱۰/۱۲

چکیده

قره شیخ بیات، ر.، دندینی، ل.، و سانساوینی، س.، شناسائی آلل های خود ناسازگاری در زردآلو (*Prunus armeniaca* L.) با تلفیق روش های مطالعه این صفت. مجله بهنژادی نهال و بذر ۱-۲۷: ۴۲۶-۴۱۱.

زردآلوهای ایرانی که در تقسیم‌بندی این محصول در گروه ایرانی- فرقاژی قرار می‌گیرند همانند زردآلوهای آسیائی درجه بالائی از صفت خودناسازگاری از نوع گامتوفیتیک را نشان می‌دهند. به منظور شناسائی آلل های خود ناسازگاری در تعدادی از ارقام زردآلو، از روش های تلاقی های کنترل شده در باغ، تعقیب میکروسکوپی لوله گرده در گل های تلقیح شده و آزمایش های مبتنی بر انجام PCR به کمک آغازگرهای به کار رفته برای سایر اعضای جنس برونوس (*Prunus*)، استفاده شد. کارآئی تعدادی از آغازگرها برای تعیین آلل های ناسازگاری در بین ارقام مورد آزمایش به اثبات رسید. پس از تلفیق نتایج به دست آمده از آزمایش های باغی، آزمایشگاهی (میکروسکوپی) و مولکولی، صحت و دقیقت اطلاعات به دست آمده مورد بررسی قرار گرفت. در نهایت معلوم شد به کمک توالی یابی اسید نوکلئیکی آلل های شناسائی شده، تعیین ژنتیپ S نمونه های آزمایشی با اطمینان بیشتری امکان پذیر است و با انتکای صرف به نتایج الکتروفورز محصولات PCR در مواردی نتایج کاملی به دست نمی آید.

واژه های کلیدی: زردآلو، خودناسازگاری، جایگاه ژنی S، *S-RNase*

(Vilanova *et al.*, 2005)

مقدمه

این ویژگی در خانواده گلسرخیان (Rosaceae) به صورت خودناسازگاری (Gamtovifitik) همومorfیک، تک عاملی چندآلی کنترل می‌شود (Sanzol and Herrero, 2002) و با بازپس زدن لوله گرده درون خامه اتفاق می‌افتد. به هر حال همان‌گونه که اشاره شد در بسیاری از درختان میوه این خانواده تولید کافی میوه منوط به تلاقی سازگار بین ارقام و نیز درختان درون یک رقم است و البته تمایل زیادی به داشتن ارقام خودسازگار یا خودتلقیح در بین درختان میوه و درختان آجیلی وجود دارد (Broothaerts *et al.*, 2004). زردآلوهای ایرانی که در تقسیم‌بندی این محصول در گروه ایرانی-فقاچی قرار می‌گیرند همانند زردآلوهای آسیائی درجه بالائی از صفت خودناسازگاری از نوع گامتوفیتیک را نشان می‌دهند. تاکنون ژن‌های *SFB* و *S-RNase* یکی مسئول شناسائی مادگی و دیگری دانه گرده به عنوان ژن‌های مسئول در این ارتباط شناسائی شده‌اند و بر اساس این شناخت ژنتوتایپینگ ارقام درختان میوه خصوصاً درختان میوه هسته دار برای صفت مذکور با سهولت انجام می‌شود. یکی از مکانیزم‌های ناسازگاری که به دقت مورد مطالعه قرار گرفته است مکانیزم ناسازگاری گامتوفیتیک بر مبنای *S-RNase* است. در این نوع ناسازگاری چنانچه لوله گرده در حال رشد درون

زردآلو (*Prunus armeniaca*) که بومی چین و آسیای مرکزی است به خاطر ویژگی‌های خاص از جمله تحمل شرایط کم آبی و نیز اهمیت تجاری در سرتاسر دنیا گسترش دارد. تولید این میوه بنابر گزارش سازمان غذا و خواروبار جهانی در سال ۲۰۰۹ میلادی بالغ بر سه میلیون و هفتصد هزار تن بوده است (Anonymous, 2009). بنابر همین گزارش در این سال ترکیه با ۶۹۵۳۶۴ تن و ایران با ۳۹۷۷۴۹ تن تولید، به ترتیب در رتبه اول و دوم تولید این محصول در جهان بودند. جایگاه جهانی ایران در تولید این محصول و اهمیت اقتصادی آن برای باقداران ایرانی، تحقیقات در زمینه بهنژادی این محصول را توجیه می‌کند.

زردآلو متعلق به خانواده Rosaceae و جنس *Prunus* است. همه گونه‌های زردآلوها دیپلوئید هستند و در آن‌ها  $n=16$  و  $x=8$  است (Janick *et al.*, 1996). به نظر می‌رسد تولید و اصلاح تعداد زیادی از ارقام زردآلو (*P. armeniaca*) مانند سایر اعضای جنس پرونوس به استثنای هلو (*P. persica*) که یک گونه کاملاً خودسازگار است، به وسیله مکانیزم خودناسازگاری کنترل می‌شود. این مکانیزم از انجام تلاقی موفقیت‌آمیز بین ارقامی که دارای آلل‌های مشابه برای صفت مذکور هستند جلوگیری می‌کند و به این ترتیب بر میزان تولید میوه در باغ‌ها اثر گذار است

V1 است. پروتئین‌های *SFB4*, *SFB2* و *SFB1* دارای پلی‌مورفیسم بالائی بوده و تشابه توالی اسید آمینه‌ای آن‌ها به طور متوسط برابر  $\frac{79}{4}$ ٪ (Romero *et al.*, 2004). با گزارش شده است (Romero *et al.*, 2004) (Halasz *et al.*, 2007) که شناسایی منشاء خودناسازگاری را در این گونه ممکن می‌سازد.

تعداد آلل‌های زردآللو را تا ۲۲ عدد گزارش کردند. وو و همکاران (Wu *et al.*, 2009) هشت *S-RNase* جدید را مشخص و به بانک ژن معرفی کردند که با اسمی Par-23 الى Par-30 ثبت شدند. به این ترتیب تعداد آلل‌های S در زردآللو به ۳۰ رسید. انتظار می‌رود با انجام آزمایش روی نمونه‌های جدید این تعداد بیشتر شود. اخیراً با توجه به دقت و سرعت عمل در تعیین آلل‌های S به کمک روش‌های مولکولی، استفاده از روش‌های جدید برای مطالعه جایگاه ژنی S نظری RT-PCR، امکان مقایسه الگوهای مقطعی ظاهر ژن *S-RNase* در ارقام خودناسازگار (SC) و خودناسازگار (SI) به وجود آمده است. کاربرد DNA-کروماتوگرافی Denaturing high performance liquid chromatography-DHPLC (DHPLC)، به منظور تشخیص ژنوتیپ S بر اساس آلل‌های *SFB* برای تعدادی از زردآللوهای اروپائی توسط راز و همکاران (Raz *et al.*, 2009) گزارش شده

خامه با یکی از دو آلل مادگی همانند باشد، رشد آن متوقف می‌شود (McCubbin and Kao, 2000). دلیل این توقف، فعالیت آنزیم رایبونوکلئاز است که منجر به اضمحلال RNA می‌شود و بنابراین پروتئین مورد نیاز برای رشد لوله گرده تامین نمی‌شود.

به منظور سهولت کشف ژن‌های مزبور در زردآللو، کتابخانه باکتریائی (Bac-library) در ارقام گلدریچ (Goldrich) و هارکوت (Harcot) توسعه رومرو و همکاران (Romero *et al.*, 2004) شناسایی ژن‌های *SFB* و *S-RNase* در زردآللو شد. نتیجه مطالعات نشان داد که ساختمان جایگاه ژنی در زردآللو شبیه سایر گونه‌های جنس پرونوس است که تا به حال گزارش شده، یعنی *S-RNase* دارای دو اینترون است و اندازه این دو اینترون برای هر هaplotype (Haplotype) تفاوت دارد. برای تعداد زیادی از آلل‌های S اندازه این اینترون‌ها مشخص شده‌اند. میزان تشابه توالی اسید آمینه‌ای سه آلل موجود در دو رقم فوق الذکر (S1, S2 و S4) به طور متوسط برابر با ۵/۷۷٪ بوده و به این ترتیب پلی‌مورفیسم موجود در توالی می‌تواند میان این نکته باشد که این ژن (*S-RNase*) تعیین‌کننده ویژگی مادگی در زردآللو است. از طرف دیگر پروتئین‌های *SFB* زردآللو نیز شبیه این پروتئین در سایر اعضای *Prunus* بوده و دارای چهار منطقه متغیر به اسمی HVb, HVa, V2 و V1

کافی میوه نیاز به گردهافشانی ارقام دارند. در ارقام خودسازگار، دیگر عواملی نظیر پیدا کردن درختان گردهدهنده مناسب و همپوشانی دوره گلدهی ارقام برای باغداران مطرح نیست. در آن سو برای محققین نیز محدودیت‌های انتخاب والدین مناسب جهت انجام دگرگشتنی‌ها و نیز انجام خودگشتنی‌ها قابل طرح نیست. به همین دلایل به نظر می‌رسد مطالعات وابسته به فیزیولوژی گلدهی برای پی‌ریزی برنامه‌های دورگ‌گیری یک ضرورت است. تعیین نحوه توارث پذیری صفات مربوط به باروری، کارآیی برنامه‌های بهنژادی را افزایش می‌دهد. در این ارتباط، به عنوان نمونه، نر عقیمی (که به ندرت در مورد زردآللو گزارش می‌شود) به میزان ۲۵٪ در گیاهچه‌های بذری حاصل از تلاقی والدین ناخالص (Heterozygous) تولید می‌شوند (Burgos *et al.*, 2004). بنابراین انتخاب والدین مناسب می‌تواند یک راه حل برای پرهیز از انتقال صفات نامطلوب نظیر نر عقیمی و خودناسازگاری باشد. همچنانی استفاده از روش‌های جدید، این امکان را فراهم می‌کند که در مراحل اولیه رویشی نهال‌های بذری بتوان این صفت را در آن‌ها بررسی کرد و در صورت لزوم نسبت به حذف ژنوتیپ‌های ناسازگار مبادرت ورزید. به این ترتیب این تحقیق با هدف بررسی کارآئی تعدادی از روش‌های مرسوم و جدید در ارتباط با شناسائی آلل‌های خودناسازگاری در زردآللو به انجام شد.

است. بر مبنای این مطالعات آغازگرهای ویژه‌ای برای آلل‌های S زردآللو نیز طراحی شده‌اند. تعدادی از این آغازگرهای جدید اختصاصی به کار رفته برای شناسائی آلل‌های S در زردآللو عبارتند از: S-11SRF، S-17SRF، S-26SRF، S-8SRF و S-9SRF که به ترتیب ویژه شناسائی آلل‌های S26-RNase، S17-RNase، S8-RNase، S9-RNase و S11-RNase هستند (Wu *et al.*, 2009).

فاصله فیزیکی بین آلل‌های S-RNase و SFB در زردآللو تعیین شده تا پیوستگی شدید ژنتیکی این دو را که شرط لازم برای خودناسازگاری از نوع گامتوفیتیک است، نشان دهد. در این ارتباط می‌توان به کار و و همکاران (Wu *et al.*, 2009) اشاره کرد که در آن اقدام به انجام PCR برای آلل‌های S8، S11، S9، S17 و S26 با استفاده از آغازگرهای فوق الذکر کرد. آن‌ها فاصله ژنتیکی بین ژنهای S9 و SFB و آلل را برای شماره‌های S11، S17 و S26 به ترتیب برابر با: ۶۲۰ bp و ۱۰۶۱ bp، ۲۹۹ bp و ۳۸۷ bp به دست آورند.

در فهرست برنامه‌های بهنژادی زردآللو به موضوع خود(نا)سازگاری ارقام که تعداد آن‌ها در بین ارقام جدید در حال افزایش است، توجه می‌شود (Bassi and Audergon, 2006). این موضوع از آن جهت اهمیت دارد که وجود ارقام خودناسازگار مشکلاتی را از نظر مدیریت باغ‌ها و نیز برنامه‌های بهنژادی پیش‌پای باغداران و بهنژادگران می‌گذارد. باغداران برای تولید

با توجه به این که تعدادی از عوامل محیطی بر میزان تشکیل میوه در درختان میوه تاثیر می‌گذارند و به تبع آن بر استنتاجات به دست آمده از آزمایش‌های باغی در خصوص خودسازگاری/ناسازگاری و حتی سازگاری با دیگر ارقام موثرند، که از جمله آن‌ها می‌توان به وضعیت تکاملی گل‌ها در ارقام اشاره کرد یک پیش مطالعه‌ای در این ارتباط بر روی تعدادی از ارقام مورد تحقیق انجام شد و در آن با بررسی بیش از ۳۰۰ گل به ازای هر رقم درست قبل از انجام تلاقي‌ها وضعیت گل‌ها از نظر قابلیت تولید میوه مورد بررسی قرار گرفت. با احتساب این نظریه که در زردآلو گل‌های واجد مادگی به طول ۵ الی ۱۰ میلی‌متر پس از انجام گردهافشانی قادر به تشکیل میوه خواهند بود (Faust, 1989) و کوچک‌تر از این دامنه، گل‌های تکامل نیافته ای هستند، لذا انتخاب گل‌های مناسب جهت انجام تلاقي‌ها با دقت انجام شد.

مطالعه میکروسکوپی رشد لوله گرده درون خامه بر روی ارقام مذکور با استفاده از شاخه بریده و انتقال آن‌ها به آزمایشگاه انجام شد. در این روش شاخه‌های حاوی گل‌ها در مرحله بالني (Ballon stage) بریده شدند و بلاfacسله به آزمایشگاه با دمای ۲۲ درجه سانتی گراد منتقل شدند. محلول ۵٪ ساکارز تهیه شد و انتهای شاخه داخل سطل‌های کوچک محتوى محلول فوق قرار داده شد. بلاfacسله اقدام به اخته کردن گل‌ها شد و روز بعد تلقیح مصنوعی مطابق جدول تلاقي‌ها انجام شد. هفتاد و دو ساعت

## مواد و روش‌ها

تعداد ۲۴ رقم زردآلو در یک باغ کلکسیون در استان امیلیا-رومانیا (Emilia-Romagna) در شمال ایتالیا برای انجام آزمایش‌ها مورد استفاده قرار گرفتند. درختان ۵ تا ۶ ساله بوده و عملیات باغبانی یکسانی روی آن‌ها انجام می‌شود.

کلیه تلاقي‌های متقابل (Reciprocal Crosses) بین پنج رقم ریادا (Robada)، پینک کت (Pinkot)، مايا (Maya) و پرتیچی (Portici) انجام شد. برای انجام این تلاقي‌ها بیش از ۳۰۰ گل اخته شدند و تلقیح مصنوعی به منظور بررسی خودناسازگاری و سازگاری بین ارقام در مورد آن‌ها اجرا شد. در سال دوم آزمایش، علاوه بر تلاقي‌های فوق که به منظور اطمینان بیشتر از نتایج و نیز جبران تلفات ناشی از سرمآزادگی گل‌ها تکرار شد، برای تعدادی از ارقام دیگر تلقیح دستی انجام شد. مناسب با برنامه تلاقي از پیش تعیین شده در باغ در زمان مناسب ایزولاسیون گل‌ها به کمک پوشش‌های مناسب انجام شد. گل‌ها اخته شدند و با دانه گرده خودی به منظور بررسی خودناسازگاری و با دانه گرده سایر ارقام مورد مطالعه به منظور بررسی ترکیب‌های سازگار/ناسازگار تلقیح مصنوعی انجام شد. پس از انجام تلاقي‌ها مجدداً شاخه‌های حاوی گل‌های گردهافشانی شده پوشانیده شدند تا از آسودگی گل‌ها به وسیله دانه گرده نامعلوم جلوگیری به عمل آید. پس از گذشت هشت هفته درصد تشکیل میوه (Fruit set) محاسبه شد.

DNA پلاسمیدی به توالی یابی قطعات ژنی جدا شده انجام شد. میزان تشابه توالی‌ها با برنامه FAST و با مراجعه به بانک‌های اطلاعاتی از EBI (European Bioinformatic Institute) جمله بررسی و با برنامه Clustalw آنالیز شد (Sutherland *et al.*, 2004).

### نتایج و بحث

اسامی ارقام زردآللو و پرایمرهای مورد استفاده در این بررسی به ترتیب در جدول‌های ۱ و ۲ نشان داده شده‌اند.

قوه‌نامیه و رشد دانه‌های گرده در مورد ارقام مورد مطالعه برای تلاقی‌های متقابل نتایج نشان داد که عموماً دارای درصد قابل قبولی از قوه‌نامیه هستند لذا قابلیت استفاده آن‌ها در برنامه تلاقی‌ها محرز شد (شکل ۱). البته در مورد زردآللو نتایج بسیاری از تحقیقات در این خصوص نشان داده است که اکثر قریب به اتفاق ارقام به استثنای چند رقم نر عقیم از قدرت جوانه‌زنی و رشد لوله گرده خوبی برخوردارند (Vachun, 1981; Egea *et al.*, 1992). نتایج تشکیل میوه برای پنج رقم زردآللو در تلاقی‌های متقابل در جدول ۳ آمده است. همان‌طور که اشاره شد این بررسی در سال‌های ۲۰۰۸ برای پنج رقم و در سال ۲۰۰۹ ضمن تکرار پنج رقم سال اول، برای هفده رقم جهت مشارکت در تعیین ژنوتیپ S<sub>1</sub> در همان باغ انجام شد. تعدادی از این ارقام که امکان انجام تلاقی‌های خودی در باغ برای آن‌ها وجود داشت با ذکر

پس از تلاقی گل‌ها روی شاخه‌های بریده، مادگی گل‌ها جدا شده و درون محلول ثبیت کننده فرمالدئید استیک اسید و الکل (FAA) جهت آماده‌سازی بافت خامه و رنگ آمیزی آن قرار داده شدند. این نمونه‌ها ابتدا به کمک آب مقطر چند بار شستشو داده شدند تا محلول مذکور زدوده شود. سپس به کمک آنیلین بلو (Aniline Blue) رنگ آمیزی و با میکروسکوپ فلورسنت مطالعه شدند و از آن‌ها عکس تهیه شد. مطالعه به طور متوسط بر روی پنج مادگی تلقیح شده انجام شد و رشد لوله گرده از مرحله جوانه‌زدن روی کلاله تا نزدیک تحمدان و در مواردی داخل تحمدان تعقیب شد.

برای تمامی تلاقی‌های پیش‌بینی شده دانه گرده از همان ارقام در باغ تهیه شد و قبل از استفاده آزمون قوه‌نامیه آن‌ها با استفاده از محیط کشت مایع استاندارد (pH=4.5-5) شامل: ۱۰۰ گرم ساکارز، ۰/۲ گرم اسید بوریک و ۰/۳ گرم نیترات کلسیم در یک لیتر آب مقطر انجام شد. برای انجام مطالعات مولکولی، پس از استخراج DNA ژنومی مطابق پروتکل CTAB و تعیین کمیت و کیفیت نمونه‌های DNA با PCR، اقدام به انجام Nanodrop با استگاه استفاده از آغازگرهای اختصاصی و عمومی شد تا قطعاتی از ژن‌های هدف تکثیر شوند. تفکیک قطعات تکثیری با استفاده از ژل آگارز ۲-۵/۱ درصد انجام شد و قطعات حاصل در ناقل pGEM-T همسانه شدند. پس از استخراج

## جدول ۱- اسامی و شجره ارقام زردآلو مورد مطالعه

Table 1. Name and pedigree of apricot cultivars used in the experiment

Cultivar/genotype	رقم/نمونه	Pedigree	Origin
ALTERA	آنرا	HARCOT × (SAN CASTRESE × REALE DI IMOLA)	Italy
B092639095		HARCOT × REALE DI IMOLA	Italy
BO93622312		Petra selfing	Italy
BORA	برا	Early Blush × PA 7005-2	Italy
CORNIA	کورنیا	NJA1 × BELLA DI IMOLA	Italy
HARCOT	هارکوت	(Geneva Narmata) Morden 604 × NJA1 (PERFECTION × PHELPS)	Canada
GHEYSI*	قیسی	Unknown	Iran
NADERI*	نادری	Unknown	Iran
KIOTO	کیوتو	Unknown	France
LILLYCOT	لی لی کت	Unknown	Canada
MAIA	مایا	PORTICI × BORA	Italy
NINFA	نینفا	OUARDI × TYRINTHOS	Spain
PETRA	پترا	GOLDRICH × PELESE DI GIOVANNIELLO	Italy
PIEVE	پیوه	HARCOT × REALE D'IMOLA	Italy
PIEVE TARDIVA	پیوه و تاردیوا	HARCOT × REALE D'IMOLA	Italy
PINKCOT	پینک کت	Unknown	Canada
PORTICI	پورتیچی	Unknown	Italy
REALE	رآل	Unknown	Italy
ROBADA	ربادا	ORANGE RED × K113-40	Italy
S.CASTRESE	سن کاسترے	Unknown	Italy
TARDIF DE VALENCE	تاردیف د والنس	Unknown	Spain
YAMAGATA 3	یاماگاتا ۳	Unknown	Japan
LITO	لیتو	STARK EARLY ORANGE × TIRYNTHOS	Greece
GOLDRICH	گلدریچ	SUNGLO × PERFECTION	USA

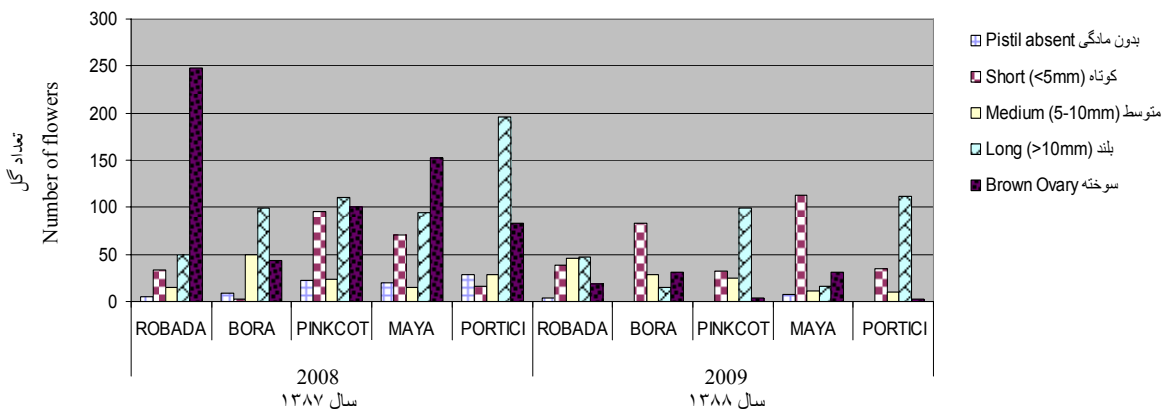
\* رقم نادری و قیسی جزو ارقام ایرانی بود که در این باغ وجود نداشت و تنها نمونه DNA آنها در این آزمایش مورد استفاده قرار گرفت.

\* Iranian cultivars not existed in the garden and their DNA samples were used.

## جدول ۲- لیست آغازگرهای مورد استفاده برای تکثیر قطعاتی از ژن های کنترل کننده خودناسازگاری

Table 2. The primers used to amplify fragments of genes involved in self incompatibility

Primer	Sequence(5'-3')	Source
EM-PC2consFD	TCACMATYCATGGCCTATGG	Sutherland 2004
EM-PC3consRD	AWSTRCCRTGYTTGTTCCATT	Sutherland 2004
EM-PC5consRD	CAAAATACCACTTCATGTAAACARC	Sutherland 2004
SRc-F	CTCGCTTCCTTGTCTTG	Romero 2004
SRc-R	GGCCATTGTTGCACAAATTG	Vilanova 2005
PaConsI-F	(C/A)CTTGTCTTG(C/G)TTT(T/C)GCTTTCTTC	Sonneveld 2003
PaConsI-R	CATG(A/G)ATGGTGAA(A/G)T(T/A)TTGTAATGG	Sonneveld 2003
PaConsII-F	GGCCAAGTAATTATTCAAACC	Sonneveld 2003
PaConsII-R	CA(T/A)AACAAA(A/G)TACCACTTCATGTAAAC	Sonneveld 2003
PaConsI-F	(C/A)CTTGTCTTG(C/G)TTT(T/C)GCTTTCTTC	Sonneveld 2003
SFBc-F	TCGACATCCTAGTAAGACTACCTGC	Vilanova 2006
SFBc-R	ATTCTTCACTGCCTGAATCG	Vilanova 2006
SFB-1R	TAAACCTCAACCGCCAAGAC	Romero 2004
SFB-5F	TAGGACCCCTCCAATGAGC	Romero 2004



شکل ۱- تنوع وضعیت تکامل و سلامت گل‌های ارقام زردآلو در سال‌های ۲۰۰۸ و ۲۰۰۹ در ایستگاه تحقیقاتی تبانو

Fig. 1. Developmental situation of flowers among apricot cultivars evaluated at Tebano Research Station during 2008-2009

تعداد متوسط گل در هر شاخه ایزوله شده داخل کیسه برابر ۱۵۰ بود. ارقام REALE DI IMOLA و LITO قبلاً در همان مزرعه در آزمایش‌های به عمل آمده خودسازگاری نشان داده بودند.

اوقات نتایج دور از ذهن نیز مشاهده شد که می‌تواند به آسودگی‌های کلاله به سایر دانه‌های گرده نسبت داده شود و در مواردی نیز نقص مادگی و عدم تکامل آن به دلیل بسیار جوان بودن گل‌ها یا پیر بودن آن‌ها عامل این تناقض در رفتار گزارش شده است.

در جدول ۵ میزان کارآئی آغازگرهای مورد استفاده جهت تکثیر قطعات کروموزومی هدف (جایگاه ۳نی S) در نمونه‌های آزمایشی آورده شده است. علیرغم این که استفاده از آغازگر SRC موثرتر از سایر آغازگرهای بود ولیکن سایر آغازگرهای نیز در این مطالعه مورد استفاده قرار گرفتند تا امکان مشخص کردن ترکیب ژنتیکی (ژنوتیپ) نمونه‌های مورد استفاده با اطمینان بیشتری فراهم شود. در حال حاضر کاربرد جفت آغازگر به عنوان نشانگر

در صد تشکیل میوه عبارت بودند از: کیوتو (۴۲/۵٪)، سن کاسترز (۳۰٪)، پیه و (۱۰٪)، گلدریچ (۰٪)، تاردیف د والانس (۲۹٪)، BO93623012 (۱۰٪)، BO92639095 (۶/۵٪)، پترا (۸٪)، هارکوت (۰٪)، پیوه تاردیوا (۱۵٪). سایر ارقام شامل آلترا، کورنیا، قیسی، نادری، لیلی کوت، رئاله دی ایمولا، نینفا، لیتو و یاماگاتا ۳، در مطالعات مولکولی مورد استفاده قرار گرفتند.

نتایج مطالعه میکروسکوپی رشد لوله گرده درون خامه در جدول ۴ ارائه شده است. وجود حداقل یک لوله گرده رشد کرده درون تخدمان به مترله سازگار بودن تلاقی منظور شد (شکل ۲). با توجه به داده‌های جدول خودناسازگاری تعدادی از ارقام مشخص شد که با نتایج به دست آمده در باغ مطابقت می‌کند. البته گاهی

## جدول ۳- نتایج تشکیل میوه برای پنج رقم زردآلو در تلاقی های متقابل

Table 3. Fruit set percentage obtained from reciprocal crosses of five apricot cultivars

رقم مادر (♀)Female	رقم گرده دهنده Male(♂)	درصد تشکیل میوه		توضیحات	
		2008	% Fruit set 2009	Notes	
ربادا	Robada	ربادا	0.8	0.0	SI خودناسازگار
	Bora	بورا	21.4	8.9	CC تلاقی سازگار
	Pinkcot	پینک کت	19.2	8.5	CC تلاقی سازگار
	Maya	مايا	25.3	9.5	CC تلاقی سازگار
	Portici	پورتیچی	27.7	2.0	CC تلاقی سازگار
بورا	Bora	بورا	13.0	8.8	SI خودناسازگار
	Robada	ربادا	19.1	18.0	CC تلاقی سازگار
	Pinkcot	پینک کت	19.5	10.6	CC تلاقی سازگار
	Maya	مايا	17.6	3.1	CC تلاقی سازگار
	Portici	پورتیچی	28.7	14.4	CC تلاقی سازگار
پینک کت	Pinkcot	پینک کت	6.0	0.0	SI خودناسازگار
	Robada	ربادا	6.0	1.5	؟ ؟
	Bora	بورا	10.5	3.0	CC تلاقی سازگار
	Maya	مايا	6.0	0.0	CC تلاقی سازگار
	Portici	پورتیچی	9.1	0.0	CC تلاقی سازگار
مايا	Maya	مايا	Fruitful	0.0	SI خودناسازگار؟ ؟
	Robada	ربادا	No data	2.4	؟ ؟
	Bora	بورا	No data	7.0	CC تلاقی سازگار
	Pinkcot	پینک کت	No data	5.2	CC تلاقی سازگار
	Portici	پورتیچی	No data	0.5	؟ ؟
پورتیچی	Portici	پورتیچی	20.0	12.2	SC خود سازگار
	Robada	ربادا	23.0	21.1	CC تلاقی سازگار
	Bora	بورا	23.1	19.3	CC تلاقی سازگار
	Pinkcot	پینک کت	27.8	20.4	CC تلاقی سازگار
	Maya	مايا	20.8	19.9	CC تلاقی سازگار

SI: Self-incompatible; CC: Cross compatible; SC: Self compatible

الکتروفورز به دست آمده روی ژل آگارز در شکل ۳ و ۴ نشان داده شده است. این الگوها با نتایج به دست آمده از کار سایر محققین مقایسه و پس از آن اقدام به کلون کردن آلل های ظاهر شده به وسیله

مولکولی که قادر به تعیین طیف وسیعی از آلل های ناسازگاری در زردآلو باشد، امکان پذیر نیست، لذا معمولاً لازم است ترکیبی از آن ها مورد استفاده قرار گیرد تا S-ژنو تایپینگ ک با موفقیت بیشتری همراه باشد. الگوهای

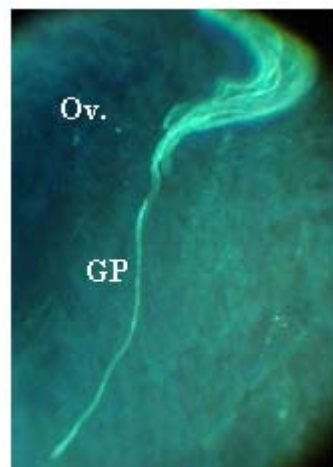
#### جدول ۴- تعقیب لوله گرده درون مادگی پس از انجام تلاقی ها در شرایط کنترل شده

Table 4. Following growing pollen tubes inside the ovary from stigma toward ovule under controlled conditions after hand pollination

نام گیاهی از ۷۲ ساعت بعد	Pollinated pistils after 72 hours	والگردندن Male parent (Pollen source)	نماد مادگی متالمه شده	Evaluated pistils	دانه گردد روی کارپو	Pollen grains on stigma	گرهای چربی جذب کرده	Germinated pollen (N,L,M,H)•	لوله گرده را از جهاتی خامه	Pollen tube at the beginning of pistil	لوله گرده در نیمه مسیر	لوله گرده در نیمه درزدی	Pollen tube in the midway	لوله گرده در نیمه نهادان	Pollen tube near to ovary	لوله گرده داخل نهادان	Pollen tube inside the ovary	وضعیت سازگاری	
																	تلاقي ناسازگار. تعداد زيادي از لوله هاي گرده متوقف شده اند		
ROBADA (S8522)	ROBADA	3	X	H		X												Incompatible Cross	تلاقي ناسازگار. تعداد زيادي از لوله هاي گرده متوقف شده اند
	BORA	4	X	M-H													X	Compatible Cross	تلاقي کاملا سازگار
	PINKCOT	3	X	L-M						X								Compatible Cross	تلاقي سازگار
	MAYA	1	X	L													X	Defective Pistils	مادگي هاي ناقص (خيلي کوتاه)
	PORTICI	3	X	L													X	Compatible Cross	تلاقي سازگار
	ROBADA	3	X	M-H													X	Compatible Cross	تلاقي سازگار
BORA (ScS9)	BORA	2	X	H													X	Compatible Cross	تلاقي سازگار
	PINKCOT	2	X	M-H													X	Compatible Cross	تلاقي سازگار
	MAYA	2	X	M													X	Damaged Stigma	کالله ها آسيب ديده هستند
	ROBADA	7	X	M		X			X								X	Compatible Cross	تلاقي سازگار (مادگي کوتاه)
	BORA	5	X	M-H														Compatible Cross	تلاقي سازگار
	PINKCOT	5	X	H		X											X	Incompatible Cross	تلاقي ناسازگار (لوله هاي گرده در ۱/۳ مسیر متوقف شده اند)
Pinkcot (S8S9)	MAYA	6	X	H		X											X	Compatible Cross	تلاقي سازگار
	PORTICI	6	X	H													X	Compatible Cross	تلاقي سازگار
	ROBADA	5	X	M-H													X	Compatible Cross	تلاقي سازگار
	BORA	5	X	H													X	Compatible Cross	تلاقي سازگار
	PINKCOT	5	X	H						X							X	Compatible Cross	تلاقي سازگار
	MAYA	5	X	M-H													X	Compatible Cross	تلاقي سازگار
PORTICI (S25/7)	PORTICI	5	X	H													X	Compatible Cross	تلاقي سازگار
	ROBADA	5	X	M-H													X	Compatible Cross	تلاقي سازگار
	BORA	5	X	H													X	Compatible Cross	تلاقي سازگار
	PINKCOT	5	X	H						X							X	Compatible Cross	تلاقي سازگار
	MAYA	5	X	M-H													X	Compatible Cross	تلاقي سازگار
	PORTICI	5	X	H													X	Compatible Cross	تلاقي سازگار
MAYA (S2S9)	ROBADA	5	X	H													X	Compatible Cross	تلاقي سازگار
	BORA	5	X	H		X											X	Compatible Cross	تلاقي سازگار
	PINKCOT	5	X	H							X						X	Compatible Cross	تلاقي سازگار
	MAYA	5	X	M							X						X	Compatible Cross	تلاقي سازگار
MAYA (S2S9)	PORTICI	5	X	H													X	Compatible Cross	تلاقي سازگار

\*: N: بدون جوانه زنی؛ L: جوانه زنی کم (۵-۱۰ درصد)؛ M: جوانه زنی متوسط (۲۰-۴۰ درصد)؛ H: جوانه زنی زیاد (بیشتر از ۵۰ درصد).

N: No germination; L: Low germination (5-10%); M: Medium germination (20-40%); H: High germination (>50%).



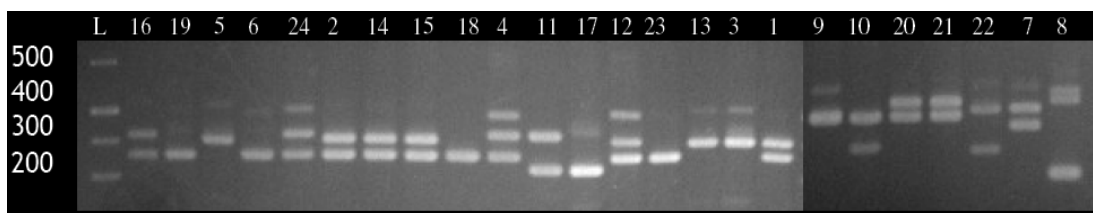
شکل ۲- نمای میکروسکوپی از لوله گرده در حال رشد داخل مادگی پس از رنگ آمیزی به وسیله آنیلین-بلو. ادامه رشد ناشی از سازگاری یا توقف آن به دلیل ناسازگاری به خوبی قابل تشخیص است. تخدمان: GP، لوله گرده در حال رشد: Ov.

Fig. 2. Microscopic view of growing pollen tube inside the ovary after staining with aniline blue. The growing or arrested pollen tubes can be recognized clearly. Ov: Ovule and GP: Growing Pollen Tube

جدول ۵- میزان کارآئی آغازگرهای مورد استفاده در تکثیر قطعاتی از ایترنون اول و دوم جایگاه ژنی S-RNase باشد. ضعیف اما قابل تشخیص در تعیین کارآئی منظور شده اند

Table 5. The efficiency of applied primers to amplify fragments of two introns of *S-RNase* gene. The weak but visible bands have been counted

Cultivar	Primer				
	SRC (F+R)	EM-PC5consRD	EM-PC3consRD	Pacons II (F+R)	Pacons I (F+R)
ALTERA	++	-	++	++	++
BO92639095	++	-	+	++	++
BO93622312	++	-	+	++	++
BORA	++	+	+	+	++
CORNIA	+	-	+	++	++
HARCOT	+	-	+	+	++
GHEISI	++	+	++	+	+
NADERI	++	+	++	+	++
KYOTO	++	+	+	+	+
LILLYCOT	++	+	++	+	+
MAYA	++	+	++	++	+
NINFA	++	+	+	++	++
PETRA	++	-	+	++	+
PIEVE	++	-	-	++	++
P. TARDIVA	++	-	-	++	++
PINKCOT	++	+	++	+	++
PORTICI	++	-	++	++	++
REALE	+	-	-	+	+
ROBADA	++?	+	++	++	+
S.CASTRESE	++	-	-	++	++
TARDIF DE VALENCE	++	-	-	++	++
YAMAGATA 3	++	-	+	+	+
LITO	+	-	+	+	++
GOLDRICH	++	+	+	++	++
Efficiency%	44.48	10.48	27.48	38.48	40.48



شکل ۳- باندهای ظاهر شده با استفاده از آغازگر SRC روی ژل آگارز برای تعداد ۲۴ رقم زردآلو

Fig. 3. Electrophoresis pattern of SRC(F+R) primer on agarose gel obtained for 24 apricot cultivars

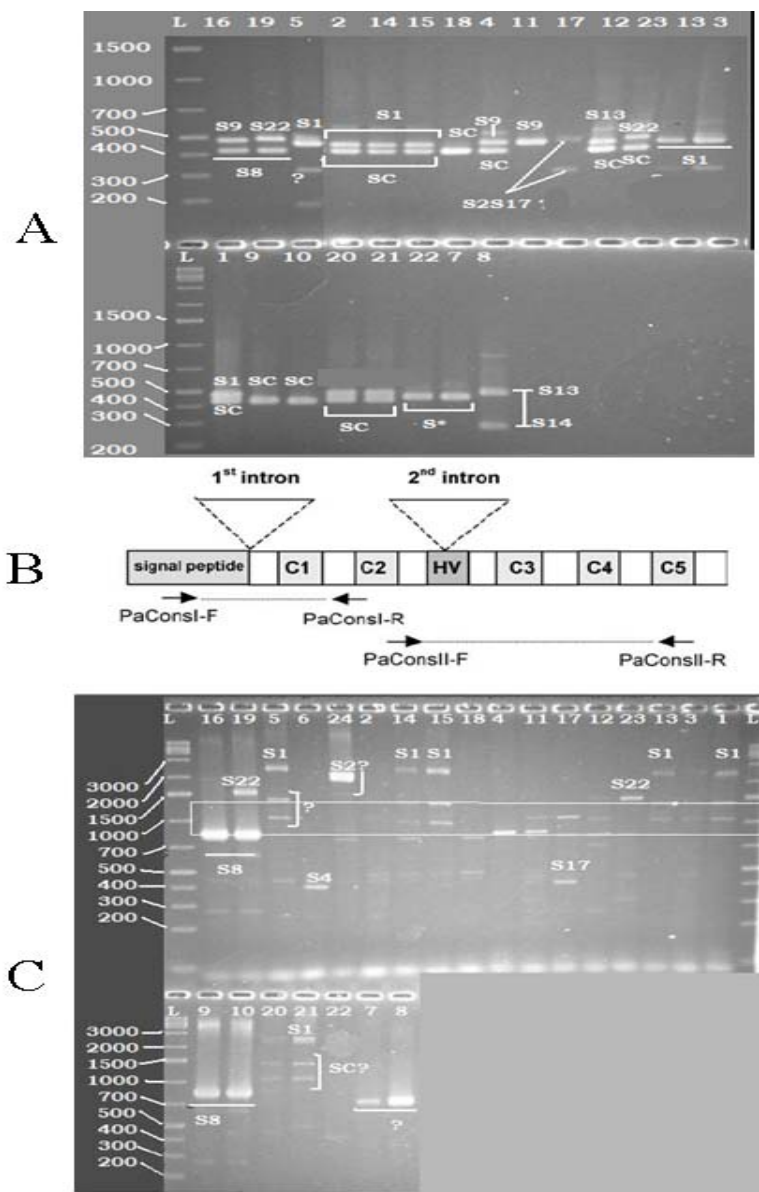
1. ALTERA, 2. BO92639095, 3. BO93622312, 4. BORA, 5. CORNIA, 6. HARCOT, 7. GHEYSI, 8. NADERI, 9. KIOTO (KYOTO), 10. LILLYCOT, 11. MAYA (MAYA), 12. NINFA, 13. PETRA, 14. PIEVE, 15. PIEVE TARDIVA, 16. PINKCOT, 17. PORTICI, 18. REALE DI IMOLA, 19. ROBADA, 20. SANCASTRESE, 21. TARDIF DE VALENCE, 22. YAMAGATA3, 23. LITO and 24. GOLDRICH.

قاطعیت بیشتری در این ارتباط می‌توان اظهار نظر کرد.

به نظر می‌رسد تنها اکتفا کردن به اندازه باندهای ظاهر شده بر روی ژل برای ژنتیپینگ کافی نباشد. با توجه به این که ژن S-RNase دارای دو ایترون بوده و تفاوت در اندازه این دو، معیار تشخیص آلل‌های متفاوت است گاهی پیش می‌آید که دو آلل متفاوت در یک ایترون کاملاً شبیه از نقطه نظر اندازه (bp) هستند بنابراین اکتفا به نتایج الکتروفورز محصولات PCR به دست آمده برای تکثیر قطعاتی از یک ایترون در مواردی شبه‌برانگیز است، ضمن این که باید در نظر داشت گاهی تفاوت‌ها در حد کمتر از ده bp بوده و عملاً تفکیک باندهای ظاهر شده بر روی ژل آگار معمولی غیر ممکن است که در چنین مواردی نیاز به استفاده از تکنیک‌های دیگری مانند الکتروفورز بر روی ژل پلی‌اکریل‌آمید (SSCP(Single Strand Conformational Polymorphism) ۴-۵ درصد)،

الکتروفورز ژل آگارز شد.

کلون‌های تهیه شده برای انجام آزمایش توالی‌یابی آماده شدند و پس از توالی‌یابی قطعات کلون شده با توالی‌های موجود در بانک ژن‌های EBI(European Bioinformatics Institute, DDBJ Nucleotide Sequence Database) مقایسه شدند. (DNA Databank of Japan) با در نظر گرفتن میزان تشابه قطعات ژنی شناسائی شده اقدام به اختصاص شماره به آلل‌های شناسائی شده شد که نتایج در جدول ۶ آمده است. در مواردی که هیچ گونه گزارشی در خصوص نمونه‌های ارسالی وجود نداشت یا میزان تشابه توالی ژنی قابل قبول نبود و بررسی Alignment Analysis نیز موید تفاوت‌های موثر در توالی نوکلئوتیدها بود، قطعه مورد نظر به عنوان بخشی از یک آلل جدید منظور شد. برای تعدادی از ارقام انتظار می‌رود که این آلل‌ها برای اولین بار گزارش می‌شوند و در صورتی که قطعات بزرگ‌تری قابل توالی‌یابی باشند با



شکل ۴- الگوهای به دست از الکتروفورز محصولات واکنش PCR با استفاده از آغازگرهای تخصصی PaConsI و PaConsII به ترتیب ویژه اینtron اول و دوم ژن *S-RNase* در زردآلو. بالا(A): الگوی به دست آمده برای اینtron اول . وسط(B): مدل پیشنهادی برای ژن *S-RNase* و قطعات قابل تکثیر توسط آغازگرهای مزبور در برگیرنده اینtron اول و دوم(Sonneveld *et al.*, 2003) . پائین(C): الگوی به دست آمده جهت شناسایی آلل های S بر مبنای قطعاتی از اینtron دوم در زردآلو. شماره و اسم ارقام در جدول ۶ آمده است.

Fig. 4. Patterns obtained by PCR products electrophoresis on agarose gel(1.5%) using PaCons I and PaCons II primer pairs amplifying 1<sup>st</sup> and 2<sup>nd</sup> introns of *S-RNase*, respectively, in apricot. A: Bands related to first intron. B: The proposed model of *S-RNase* gene(Sonneveld *et al.*, 2003), and C: Bands related to 2<sup>nd</sup> intron. Number and name of genotypes in Table 6

جدول ۶- اندازه قطعات کروموزومی مربوط به اینtron اول ژن *S-RNase* پس از توالی یابی قطعات و درصد شباهت نوکلئوتیدی آنها با آلل های S موجود در بانک داده ها

Table 6. The real size(bp) of amplified fragments of *S-RNase* first intron obtained by sequence analysis and their nucleotide homology

رقم	Cultivar	اندازه آلل ۱		درصد شباهت توالی		زنوتیپ S
		Size(bp)	(Homology)%	اندازه آلل ۲	درصد شباهت توالی نوکلئوتیدی	
ALTERA		353	100.0	400	99.5	<i>SISC</i>
BO92639095		353	100.0	400	99.8	<i>SISC</i>
BO93622312		-	-	400	99.5	<i>SIS-</i>
BORA		353	100.0	-	-	<i>SCS9</i>
CORNIA		-	99.5	400	99.8	<i>SIS-</i>
HARCOT		-	-	-	-	<i>SIS4</i>
GHEISI		325	99.1	376	81.9	<i>S2Sa</i>
NADERI		202	95.2	400	96.0	<i>S13S14</i>
KYOTO		353	99.7	-	99.1	<i>SCS8</i>
LILLYCOT		353	78.2	267	76.6	<i>S8Sb</i>
MAYA		354	99.1	328	76.6	<i>S9S2/S8</i>
NINFA		353	99.2	400	100.0	<i>SCS13</i>
PETRA		180	98.2	400	-	<i>SIS-</i>
PIEVE		353	100.0	400	100.0	<i>SISC</i>
PIEVE TARDIVA		353	100.0	400	81.6	<i>SISC</i>
PINKCOT		327	100.0	-	100.0	<i>S8S9</i>
PORTICI		328	100.0	-	87.0	<i>S2(S17`)</i>
REALE		353	100.0	353	100.0	<i>SCSC</i>
ROBADA		-	-	419	-	<i>S8S22</i>
SAN CASTRESE		353	73.2	419	73.2	<i>SCS-</i>
TARDIF DE VALENCE		353	100.0	419	73.2	<i>SCS-</i>
YAMAGATA 3		-	93.2	419	73.2	<i>S8S-</i>
LITO		353	100	-	-	<i>SCS22</i>
GOLDRICH		-	-	-	-	<i>SIS2</i>

قرار گرفته اند. به نظر می رسد تعدادی از آغازگرها که به طور مشخص قطعاتی از آلل های خاص خودناسازگاری را تکثیر می کنند می توانند به عنوان نشانگر های مولکولی با کارآئی بالا به کار گرفته شوند. در مورد زردآللو این آغازگرها تا قسمتی تهیه و استفاده شده اند ولی بنابر اطلاعات جمع آوری شده کافی نیستند. با این حال با توجه

توالی یابی ژن (Sequence analysis) ضروری است. با توجه به این که ژن دیگری به نام *SFB* نیز در کنترل صفت خودناسازگاری شناخته شده است، بنابراین می توان با تعیین این ژن به کمک S - ژنوتایپینگ آمد و نتایج مطمئن تری ارائه داد. در این ارتبا ط آغازگرهایی برای تکثیر قطعاتی از این ژن طراحی شده اند و در محصولاتی مانند زردآللو و گیلاس و آلو-گوجه مورد آزمایش

ژنوتیپ S ارقام و نمونه‌ها کارآتر خواهد بود. به نظر می‌رسد تنوع آلل‌های S بسیار زیاد است و گاهی چند شکلی در اندازه آلل‌ها برای تعیین یک آلل خاص کافی نیست. مطالعه ارقام جدید از منشاء مختلف آلل‌های جدیدی را معرفی می‌کند. تلاش‌های لازم است تا نسبت به حذف آلل‌های تکراری (همنام‌ها = Synonyms) از بانک‌های اطلاعاتی موجود که توسط محققین مختلف گزارش شده‌اند، اقدام شود.

به تحقیقاتی که در سال‌های اخیر در این ارتباط انجام شده و روش‌هایی که در گونه‌های وابسته به Prunus به کار گرفته شده همگی نشان می‌دهند که این اتفاق در مورد زردآلونیز به زودی خواهد افتاد.

نتایج به دست آمده نشان می‌دهند که چند شکلی اندازه ایتررون دوم بیشتر از ایتررون اول در ژن S-RNase است (Gharesheikhbayat, 2010).

بنابراین طراحی و کاربرد آغازگرهای برای تکثیر قطعاتی از ایتررون دوم مطمئناً در تعیین

## References

- Anderson, M. A., Cornish, E. C., Mau, S. L., Williams, E. G., Hoggart, R., Atkinson, A., Bonig, I., Grego, B., Simpson, R., Roche, P. J., Haley, J. D, Penschow, J. D, Niall, H. D, Tregear, G. W, Coghlan, J. P, Crawford, R. J, and Clarke, A. E. 1986.** Cloning of cDNA for a stylar glycoprotein associated with expression of selfincompatibility in *Nicotiana alata*. Nature 321: 38–44.
- Bassi, D., and Audergon, J. M. 2006.** Apricot breeding: update and perspectives. pp. 279-294. In: Audergon, J. M. (ed.) Proceedings of the XIIth Symposium on Apricot. Acta Horticulturae ISHS, vol. 2, No. 701.
- Broothaerts, W., Keulemans J., and Van Nerum I. 2004.** Self-fertile apple resulting from S-RNase gene silencing. Plant Cell Rep. 22: 497–501.
- Burgos, L., Alburquerque, N., and Egea, J. 2004.** Review. Flower biology in apricot and its implications for breeding. Spanish Journal of Agricultural Research 2 (2): 227-241.
- Egea J., Burgos, L., Zoroa, N., and Egea, L. 1992.** Influence of temperature on the *in vitro* germination of pollen of apricot (*Prunus armeniaca* L.). Journal of Horticultural Science 67: 247–250.
- Faust, M. 1989.** Physiology of Temperate Zone Fruit Trees. Wiley and Sons Inc., New York, USA.
- Gharesheikhbayat, R. 2010.** Self-incompatibility in apricot (*Prunus armeniaca*), new achievements and molecular aspects of S-locus allele segregation. Tesi di dottorato in colture arboree ed agrosistemi forestali, ornamentali e paesaggistici, Università

degli Studi di Bologna.

- Halász, J., Pedryc, A., and Hegedus, A. 2007.** Origin and dissemination of the pollen-part mutated SC haplotype which confers self-compatibility in apricot (*Prunus armeniaca*). *New Phytologist* 176 (4): 792-803.
- Janick, J., and Moore, J. N. 1996.** Fruit Breeding: Volume 1, Trees and Tropical Fruits. John Wiley and Sons Inc., New York, USA.
- McCubbin, A. G., and Kao, T. H. 2000.** Molecular recognition and response in pollen and pistil interactions. *Annual Review of Cell and Developmental Biology* 16: 333–364.
- Raz, A., Stern, R. A., Shafir, S., Bercovich, D., and Goldway, M. 2009.** *SFB*-based S-haplotyping of apricot (*Prunus armeniaca*) with DHPLC. *Plant Breeding* 128: 707-711.
- Romero, C., Vilanova, S., Burgos, L., Martinez-Calvo, J., Vicente, M., Llacer, G., and Badenes, M. L. 2004.** Analysis of the S-locus structure in *Prunus armeniaca* L. Identification of S-haplotype specific *S-RNase* and F-box genes. *Plant Molecular Biology* 56: 145–157.
- Sanzol, J., and Herrero, M. 2002.** Identification of self-incompatibility alleles in pear cultivars (*Pyrus communis* L.). *Euphytica* 128: 325–331.
- Sonneveld, T., Tobutt, K. R., and Robbins, T. P. 2003.** Allelespecific PCR detection of sweet cherry self-incompatibility (S) alleles S1 to S16 using consensus and allele-specific primers. *Theoretical and Applied Genetics* 107: 1059–1070.
- Sutherland, B. G., Robbins, T. P., and Tobutt, K. R. 2004.** Primers amplifying a range of Prunus S-alleles. *Plant Breeding* 123: 582–584.
- Vachun, Z. 1981.** Étude de quelques propriétés morphologiques et physiologiques du pollen d'abricotier. Germination et croissance des tubes polliniques a basses températures. *Acta Horticulturae* 85: 387–417.
- Vilanova, S., Romero, C., Llácer, G., Badenes, M. L., and Burgos, L. 2005.** Identification of self-(in)-compatibility alleles in apricot by PCR and sequence analysis. *Journal of the American Society for Horticultural Sciences* 130 (6): 893–898.
- Wu, J., Gu, C., Zhang, S. L., Zhang, S. J., Wu, H. Q., and Heng, W. 2009.** Identification of S-haplotype-specific *S-RNase* and *SFB* alleles in native Chinese apricot (*Prunus armeniaca* L.). *The Journal of Horticultural Science and Biotechnology* 48 (6): 645-652.